

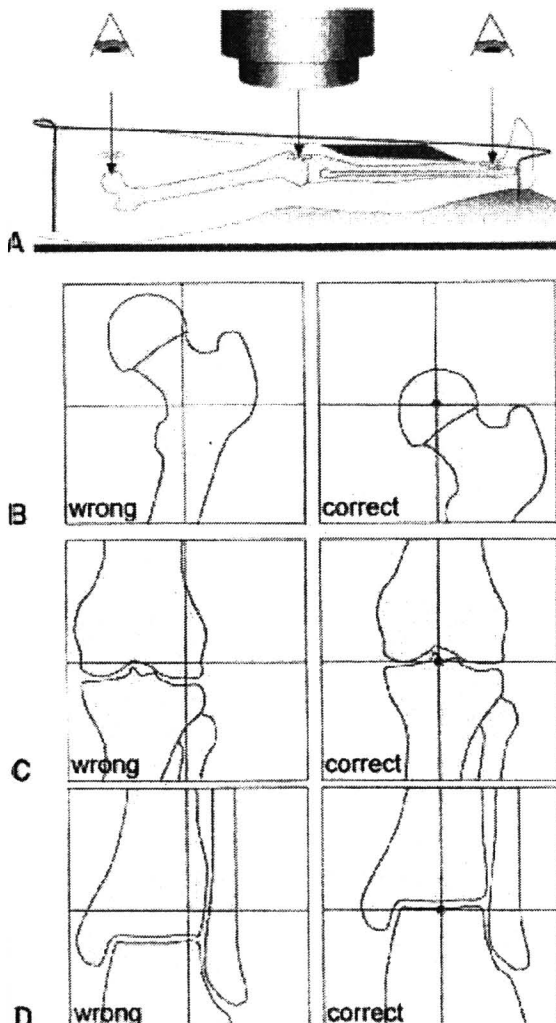
## บทที่ 2

### เอกสาร และงานวิจัยที่เกี่ยวข้อง

ในปัจจุบันนี้การรักษากระดูกย่างค์หักแบบปิด (closed fracture) มีแนวโน้มที่จะทำการผ่าตัดเพื่อเข้าไปจัดเรียงและทำการ datum กระดูกด้วยโลหะ (reduction and fixation) โดยวิธี Minimal Invasive Plate Osteosynthesis (MIPO) มาจากนี้ ซึ่งข้อดีคือเป็นการลดการทำลายเนื้อเยื่ออ่อนรอบๆ บริเวณที่กระดูกหัก แต่เนื่องจากวิธีดังกล่าวไม่ได้ผ่าตัดเข้าไปให้เห็นชุดที่กระดูกหักโดยตรง ดังนั้น การเกิดการผิดรูป (malalignment) จากการทำ reduction and fixation จึงเกิดได้ ซึ่งมีรายงานมากถึง 0-37%<sup>(4)</sup>

เครื่องเอ็กซเรย์ C-arm fluoroscopy ถือเป็นเครื่องมือที่มีความสำคัญเป็นอย่างยิ่งที่ช่วยในการจัดตั้งกระดูกเข้าที่ (reduction and fixation) ภาพเอ็กซเรย์ที่เห็นในขณะกำลังผ่าตัดสามารถบอกแนวกระดูก (alignment) ได้ในระดับหนึ่ง แต่เนื่องจากภาพที่ได้นั้นมีพิสัยแคบ คือประมาณ 12 – 15 เซนติเมตรต่อภาพ เท่านั้น หากต้องการมองให้เห็นความขาวของกระดูกทั้งท่อนจำเป็นต้องถ่ายภาพต่อเนื่องกัน 4 -6 ภาพ แต่เนื่องจากภาพที่ได้จากการต่อภาพหลายภาพอาจจะมีการบิดเบี้ยว(distortion) ของภาพได้เนื่องจากชุด โฟกัสของแต่ละภาพไม่ได้อยู่ในตำแหน่งเดียวกันอาจทำให้การประเมินแนวกระดูก (alignment) ได้ไม่ถูกต้องแม่นยำ

Krettek et al<sup>(1)</sup> ได้แนะนำวิธีการวัด alignment ในขณะทำการผ่าตัดย่างค์ล่าง (lower extremity) โดยวิธีที่เรียกว่า cable technique โดยการใช้สายจี้ไฟฟ้าวางไว้ตรงกลางของหัวกระดูก femur ทอดผ่านไปยังกลางข้อเข่า และผ่านไปยังจุดกึ่งกลางของ tibial plafond จะสามารถบอกแนวของย่างค์นั้นได้ว่ามี varus หรือ valgus หรือไม่ ซึ่งก็ถือว่ามีประโยชน์ แต่เนื่องจากวิธีการวัดอาจมีข้อจำกัดในกรณีที่ต้องขึ้น fracture table หรือการวางตำแหน่งของจุดเริ่มและจุดปลายไม่ตรงตำแหน่ง อาจทำให้ alignment ที่ได้นั้นผิดไปได้



**ภาพที่ 1.** Cable method for frontal plane deformity analysis.(1) (A) Drawing depicting the arrangement of the patient, image intensifier, skin mark.and cautery cable for the analysis of frontal plane deformity. (B) Image intensifier image of the femoral head. (C) Image intensifier image of the spanned cautery cable projected onto the knee joint. (D) Image intensifier image of the tibial plafond and talus

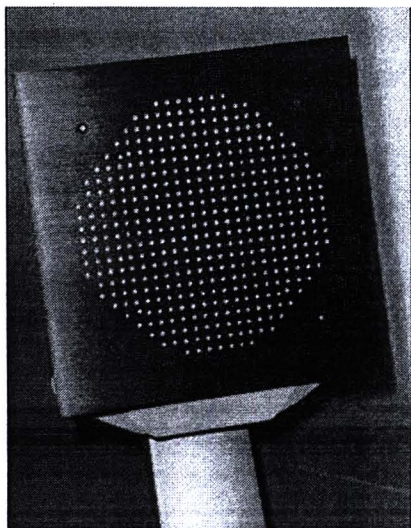
Hay et al <sup>(9)</sup> ได้รายงานผลการรักษากระดูก tibia หักโดยการใช้ external fixation และได้ใช้ axial alignment grid ช่วยขณะทำการจัดกระดูกให้อยู่ในแนวปกติได้ผลเป็นที่น่าพอใจ และได้แนะนำให้ใช้วิธีดังกล่าวในการรักษา tibial fracture

Theerachai et al <sup>(2)</sup> ได้รายงานการใช้ tibia alignment grid ในการประเมิน varus – valgus malalignment ในขณะทำการผ่าตัดกระดูก tibia หัก ซึ่งก็ได้ผลดีเช่นกัน แต่ยังไม่ได้ทำการศึกษาในกระดูกต้นขา หรือกระดูกท่อนยวอื่นๆ

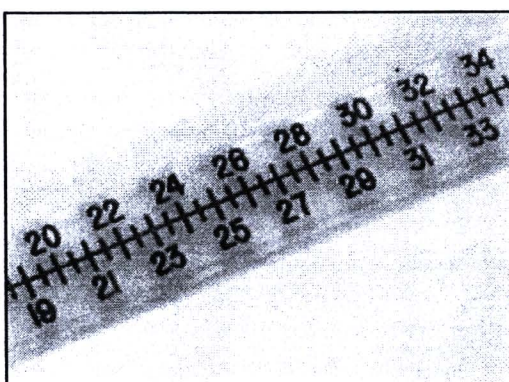
Slomczykowski et al <sup>(3)</sup> ได้พัฒนา software เพื่อนำมาใช้ร่วมกับเครื่อง C-arm fluoroscopy ในขณะทำการผ่าตัด distal locking of femoral nail สามารถทำให้มองเห็นภาพขณะผ่าตัดเป็นรูปสามมิติ และการวางแผนตำแหน่งของ locking screw เป็นไปได้ด้วยความแม่นยำลดการเกิด

malalignment ได้ดีเป็นที่น่าพอใจสำหรับแพทย์ ออร์โธปิดิกส์ แต่เนื่องจากว่าต้องอาศัยเทคโนโลยีขั้นสูงและมีค่าใช้จ่ายเพิ่มเติมมากขึ้น อาจไม่เหมาะสมสำหรับโรงพยาบาลทั่วไปที่ยังไม่ต้องการใช้ศักยภาพของอุปกรณ์มากขนาดนั้น

Ziv Yaniv et al<sup>(4)</sup> ได้อธิบายวิธีสร้างภาพจากเครื่อง C-arm fluoroscopy โดยการใช้ sterile metallic ruler วางแผนกับความยาวของรยางค์ และต้องการการปรับ distortion โดยการใช้ Dewarp grid (ภาพที่ 2 A) ติดไว้กับตัวส่งรังสีเอกซเรย์ของเครื่อง C-arm และอาศัยการเหลือมซ้อนของภาพที่ซ้ำกันมาแต่ละภาพ (overlapping pictures) และนำภาพที่ได้มาทำให้เกิดภาพ panoramic image (ภาพที่ 3) สามารถประเมิน axis ของ long bone แต่การใช้ fluoroscopy ตลอดความยาวของรยางค์อาจต้องเพิ่ม exposure ต่อ รังสีมากขึ้น อีกทั้งยังไม่มีการศึกษาเปรียบเทียบว่า ภาพที่ได้จากการทำ panorama จากเครื่อง C-arm นั้นเมื่อเปรียบเทียบกับ conventional x-ray แล้วมีความแตกต่างกันหรือไม่อย่างไร สามารถนำมาใช้ขณะทำการผ่าตัดแทนการถ่ายภาพด้วย conventional x-ray ได้อย่างมั่นใจหรือไม่

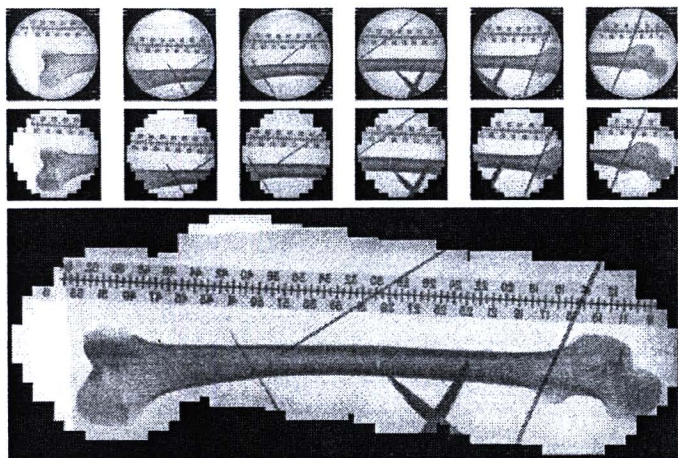


(A)



(B)

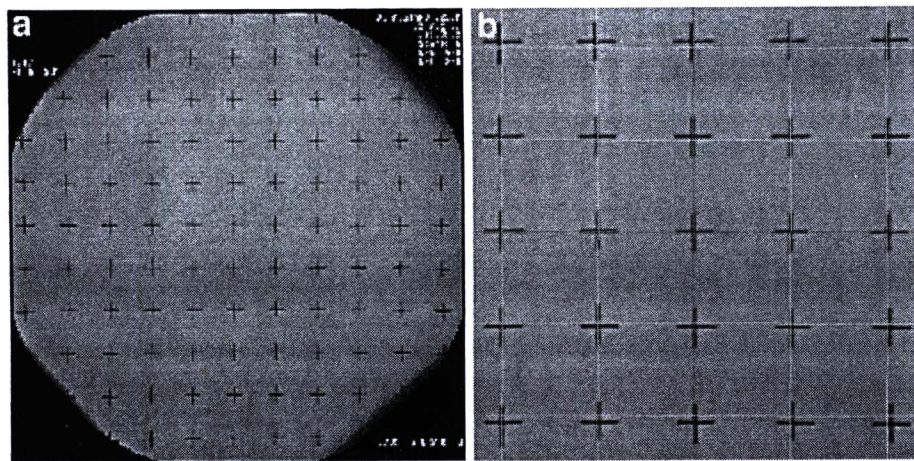
ภาพที่ 2. Equipment and its setup: (A) dewarp grid mounted on the C-arm image intensifier; (B) orthopedic X-ray ruler.



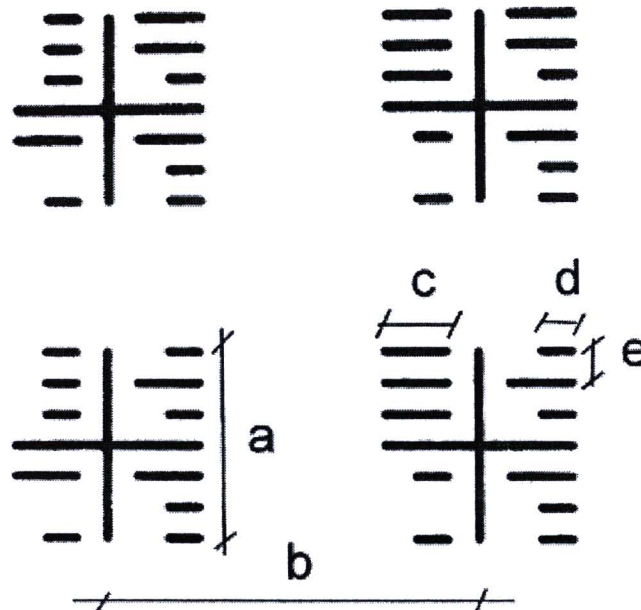
ภาพที่ 3. Panorama of a dry femur.

The top row shows the original images, the middle row shows the images after distortion correction, and bottom row shows the resulting panorama. Scissors and k-wires were placed below and above the femur.

Peter Messmer et al<sup>(5)</sup> ก็ได้พัฒนาอุปกรณ์ที่ใช้ร่วมกับเครื่อง C-arm ในการประเมิน axis ของ long bone fracture treatment เพื่อให้ได้ภาพที่ออกมาเป็น panoramic image โดยอาศัยอุปกรณ์ที่เรียกว่า Pincushion (ภาพที่ 4) ในการ calibrate ก่อนถ่ายภาพ และใช้ absolute reference panel (ภาพที่ 5) ที่มี orthogonal raster of marker วางไว้ใต้กระดูกที่หักแล้วถ่ายภาพด้วยเครื่อง C-arm ซึ่งต้องอาศัย software ในการจัดลำดับภาพที่ถ่ายออกมาระหว่างที่ถ่ายภาพให้เป็นภาพ panorama และนำมาเปรียบเทียบกับภาพจาก CT scan (ภาพที่ 6, 7) ซึ่งภาพถ่ายที่ได้นั้นสามารถประเมิน axis ของ long bone fracture ได้เป็นอย่างดี แต่เนื่องจากว่าวิธีนี้อาศัยเทคโนโลยีขั้นสูง เช่น กันอาจไม่เหมาะสมกับการใช้ในโรงพยาบาลทั่วไป ได้เนื่องจากมีค่าใช้จ่ายที่เพิ่มมากขึ้น

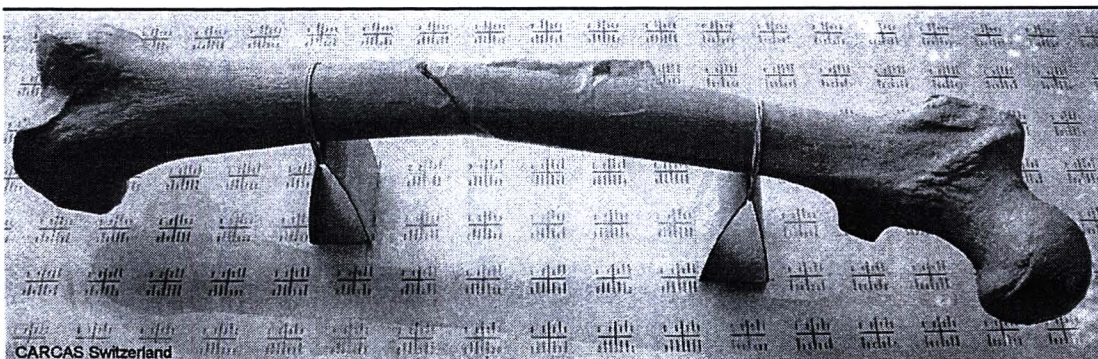


**ภาพที่ 4.** Fluoroscopy images require non-linear distortion correction. a) Non-linear distortion causes equidistant nodes to appear more distant towards the periphery. b) After distortion correction, the crosshairs of the pincushion are orthogonal again

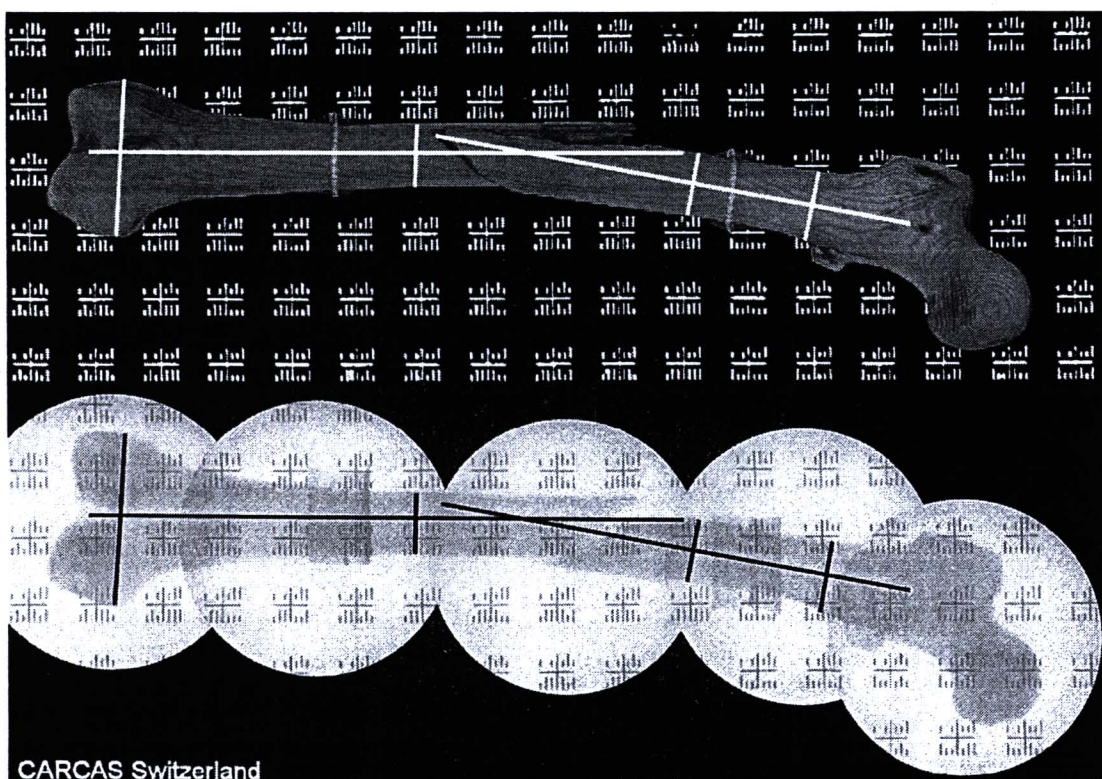


CARCAS Switzerland

**ภาพที่ 5.** Reference panel with binary coded absolute references. Each crosshair is  $a = 15$  mm wide,  $b = 30$  mm apart and has digital markings that are  $c = 5$  mm or  $d = 3$  mm long and  $e = 3$  mm apart. The top left quadrant codes the column, the top right the row and the bottom right is a panel constant. The bottom left quadrant with the “missing” bit is used to determine the orientation.



**ภาพที่ 6.** Test rig setup: a Synbone plastic femur is mounted on the reference panel for CT scanning and fluoroscopy imaging.



**ภาพที่ 7.** Comparison of Scout picture of the plastic bone obtained from CT scan and panorama mosaic concatenated from individual fluoroscopy images.

นอกจากนี้ยังมีอีกหลายการศึกษาที่ต่างก็แสดงให้เห็นถึงการใช้เทคโนโลยีขั้นสูง มีการใช้ software เข้ามาช่วยในการประเมินเรื่องของการจัด alignment ขณะทำการรักษากระดูกซึ่งอาจ

หัก<sup>(6,7,8)</sup> ดังนั้นถ้าหากเราสามารถผลิตอุปกรณ์บางชนิดเพื่อนำใช่วิ่งกับการถ่ายภาพรังสีด้วยเครื่อง C-arm ซึ่งมีอยู่โดยทั่วไปในโรงพยาบาลที่ทำการผ่าตัดกระดูกได้เพื่อมาประเมินแนวกระดูกของ long bone fracture treatment ที่ได้ผลไม่แตกต่างไปจากการถ่ายภาพด้วย conventional x-ray ก็จะเป็นการลดค่าใช้จ่ายที่จะเกิดขึ้น หากว่าต้องมีการผ่าตัดแก้ไขช้ำในผู้ป่วยที่ภายหลังการรักษาแล้วเกิดมีการผิดรูป

จากการทบทวนวรรณกรรมที่ผ่านมาบ้างไม่เคยมีการศึกษาเปรียบเทียบระหว่างการใช้ alignment grid ร่วมกับการถ่ายภาพเอ็กซเรย์จากเครื่อง C-arm fluoroscopy ในการประเมินแนวกระดูก ภายหลังจากการรักษากระดูกขึ้นขาวหักโดยการผ่าตัดจัดเรียงกระดูกและทำการยึดตามด้วยโลหะมาก่อน ว่ามีความแม่นยำแตกต่างจากการถ่ายภาพด้วย Conventional x-ray หรือไม่ อย่างไร ดังนั้นทางผู้วิจัยจึงต้องการทราบว่าการถ่ายภาพจากทั้งสองวิธีนี้ให้ผลแตกต่างกันมากน้อยแค่ไหน สามารถนำมาใช้ทดแทนกันได้หรือไม่ ถ้าหากว่าไม่มีความแตกต่างกัน เราจึงสามารถนำวิธีแรกมาใช้ในขณะทำการผ่าตัดจริง ลดโอกาสของเรื่องการผิดรูป ลดการผ่าตัดแก้ไขช้ำ ลดค่าใช้จ่ายทั้งจากการรักษาและinvestigation ที่ต้องใช้ค่าใช้จ่ายสูงและยังเป็นการประยุกต์ใช้อุปกรณ์ที่มีอยู่เดิมให้มีศักยภาพมากขึ้น โดยไม่ต้องใช้เทคโนโลยีขั้นสูงมาเพิ่มเติม ทำให้แพทย์ผู้ทำการผ่าตัดเกิดความนั่นใจในการรักษา